

حل تشابهی جریان سکون متقارن محوری نانوسیال بر روی محور استوانه‌ای چرخان*

حمید محمدیون^(۱)

چکیده در این مقاله جریان سکون شعاعی نانوسیال، بر روی یک استوانه نامحدود به صورت پایا مورد بررسی قرار گرفته است. جریان آزاد نیز پایا است و قدرت اولیه جریان \bar{k} می‌باشد و محور با سرعت زاویه‌ای ثابت در حال چرخش است. حل تشابهی معادلات ناویراستوکس و معادله انرژی در این تحقیق ارائه شده است. این معادلات، با استفاده از تبدیلات مناسبی که در این تحقیق معرفی شده است ساده‌سازی شده‌اند. برای همه اعداد رینولز، با افزایش کسر حجمی، مؤلفه‌های شعاعی و محوری میدان سرعت و نیز مؤلفه محوری تنش برشی کاهش می‌یابد و در مقابل، مؤلفه‌های زاویه‌ای میدان سرعت، مؤلفه زاویه‌ای تنش برشی و عدد ناسلت جریان افزایش می‌یابد.

واژه‌های کلیدی نانوسیال، جریان سکون، انتقال حرارت، معادلات کاملاً تشابهی، کسر جرمی، سرعت زاویه‌ای ثابت.

Similarity Solution of Axisymmetric Stagnation Point Flow of Nanofluid on Rotating Cylinder

H. Mohammadiun

Abstract In this paper the steady state radial stagnation point flow impinging on an infinite cylinder has been investigated. The impinging free stream is steady with a constant strain rate \bar{k} and axis is rotating with constant angular velocity. Similarity solution of the Navier-Stokes and energy equations is presented in this research. A reduced form of these equations are obtained by using appropriate transformations introduced in this study. For all Reynolds numbers, as the particle fraction increases, fluid velocity component in radial and axial directions and axial component of shear-stresses decrease and in the contrary the angular component of shear stress and velocity field and Nusselt number increase.

Key Words Nanofluid, Stagnation point flow, Heat transfer, Similarity solution, Particle fraction, Constant angular velocity

*تاریخ دریافت مقاله ۹۵/۱۱/۱۱ و تاریخ پذیرش آن ۹۶/۱۱/۱۱ می‌باشد.

(۱) استادیار گروه مکانیک، دانشگاه آزاد اسلامی واحد شهرود، ایران.
hmohammadiun@iau-shahrood.ac.ir

مقدمه

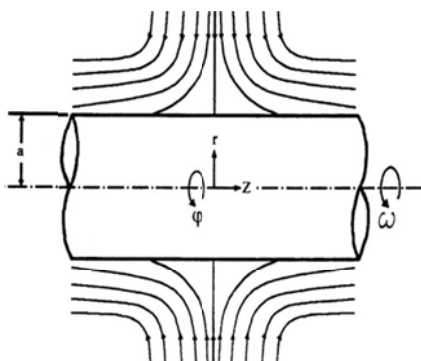
نانوسیال، نامی است که اولین بار توسط چوبی [1]، به کار گرفته شد و به سیالاتی گفته می‌شود که حاوی نانوذرات جامد معلق با اندازه کوچک‌تر از 100 nm و با کسر حجمی کمتر از ۵ درصد باشند. نانوسیال می‌تواند باعث بهبود انتقال حرارت در مقایسه با مایعات خالص شود. از نانوسیالات می‌توان برای بهبود سیستم مدیریت حرارتی در کاربردهای مهندسی، از جمله انتقال حرارت، میکرومکانیک، سیستم‌های HVAC و تجهیزات سرمایشی استفاده کرد. در سال‌های اخیر، محققان به مطالعه تجربی و عددی انتقال حرارت جابه‌جایی نانوسیالات در هندسه‌های مختلف پرداخته‌اند (میگا و همکاران [2]، هریس و همکاران [3]، وانگ وايسز و همکاران [4]، سانترا و همکاران [5] و نوین و همکاران [6]).

پس از هایمنز، هومان [11] یک حل دقیق برای حالت سه‌بعدی معادلات ناویراستوکس از جریان سکون متقارن محوری در مقابل یک صفحه تخت به دست آورد. او نیز با تعریف تغییری مناسب و تبدیل مؤلفه‌های سرعت به یک تابع تشابهی، یک معادله دیفرانسیل معمولی برای تابع تشابهی به دست آورد و حل آن را به صورت یک سری توانی ارائه داد. هوارث [12] و دیوی [13] جریان سکون سه‌بعدی در مقابل یک صفحه تخت را برای حالت‌های غیر متقارن بررسی کردند و نتایج خود را منتشر نمودند. اولین حل دقیق برای جریان سکون متقارن محوری برروی یک استوانه نامحدود، توسط وانگ [14] ارائه شد. در این حل فرض شده است که استوانه ساکن است و هیچ‌گونه حرکت چرخشی یا محوری ندارد، استوانه نیز بدون عبور جریان از سطح خود و فاقد دمش یا مکش سطحی می‌باشد. ضمناً به دلیل تقارن جریان آزاد نسبت به محور استوانه و دائمی بودن جریان، کلیه مشتقات نسبت به φ (جهت زاویه‌ای) و t (زمان)، صفر است و معادلات ناویراستوکس در مختصات استوانه‌ای به شکل ساده‌تری تبدیل می‌شوند. گورلا [15-19] در مجموعه‌ای از مقالات، جریان سکون متقارن محوری اطراف استوانه را مورد بررسی قرار داد، که جریان به صورت آرام در حالت‌های دائم و

نیلد و کوزنتسو، انتقال حرارت جابه‌جایی آزاد در لایه مرزی جریان آرام یک نانوسیال را به صورت تحلیلی بررسی کردند [7]. آنها نشان داده‌اند که مدل به کار رفته برای نانوسیال با تأثیرات حرکت برآونی تلفیق می‌شود. در پژوهش دیگری، نیلدو کوزنتسو [8]، ناپایداری حرارتی در یک لایه مرزی مخلل اشیاع شده با یک نانوسیال را بررسی کردند. اخیراً، خان و پاپ، جریان لایه مرزی یک نانوسیال را که از روی یک سطح گسترش یافته عبور کرده است، مورد مطالعه قرار داده‌اند [9]. به طور کلی یافتن حل‌های دقیق معادلات ناویراستوکس دارای پیچیدگی‌های ریاضی بسیاری است. این امر ناشی از غیرخطی بودن این معادلات است، به طوری که اصل برهم‌نیهی که در جریان پتانسیل کارساز است، دیگر قابل اعمال نیست؛ با این حال در مواردی خاص، می‌توان حل‌های دقیق برای معادلات ناویراستوکس یافت؛ ولی اغلب این حل‌ها مربوط به حالاتی است که جملات جابه‌جایی که جملاتی غیرخطی هستند، به طور طبیعی حذف شوند.

اکسید آلومینیوم پرداخته‌اند که در این تحقیق از آشفته‌ساز نوار مارپیچ در رژیم جریان مغشوش استفاده شده است. فریدون مهر و رحیمی [33] به حل مسئله تولید آنتروپی در جریان آرام نانوسيال هیدرومغناطیسی برروی صفحه تخت پرداختند. در این تحقیق فرض شده است که سطح، تحت تأثیر مکش و دمش سطحی یکنواخت قرار دارد. منصور و همکاران [34] باستفاده از روش حل تشابهی به بررسی تولید آنتروپی در لایه مرزی جریان هیدرومغناطیسی سیال غیرنیوتی برروی صفحه تخت، باستفاده از مدل کیسون پرداختند.

در تحقیق حاضر، حل تشابهی جریان سکون متقارن محوری نانوسيال و انتقال حرارت آن برروی استوانه همراه با حرکت چرخشی یکنواخت، برای اولین بار ارائه شده است. همان‌طور که در شکل (۱) مشاهده می‌شود جریان در مختصات استوانه‌ای (r, φ, z) با اجزای سرعت متناظر (u, v, w) درنظر گرفته شده است. استوانه دارای طول نامحدود و شعاع است و این استوانه دارای حرکت چرخشی با سرعت زاویه‌ای ثابت می‌باشد. مسئله در شرایطی بررسی می‌شود که دمای دیواره استوانه ثابت است یا دیواره استوانه تحت تأثیر شار حرارتی ثابتی قرار دارد.



شکل ۱ شماتیک جریان سکون شعاعی برروی استوانه همراه با حرکت چرخشی

گذرا درنظر گرفته شده بود. در این مقالات اثر حرکت محوری یکنواخت و نیز حرکت محوری هارمونیک استوانه مورد بررسی قرار گرفته است. کانینگ و همکارانش [20]، اثر چرخش استوانه با سرعت دورانی ثابت را برای جریان سکون برروی استوانه مورد مطالعه قرار دادند. در این تحقیق همچنین اثر مکش و دمش یکنواخت جریان، روی سطح استوانه درنظر گرفته شده است. به دلیل چرخش استوانه، جریان کاملاً سه‌بعدی است و سرعت درجهت φ نیز وجود دارد. تاخار و همکاران [21]، اثر غیردائمی بودن جریان سکون شعاعی متقارن محوری برروی استوانه را همراه با اثر حرکت محوری استوانه با سرعت متغیر مورد مطالعه قرار داده‌اند. در این مقاله، تابع تغییرات زمانی جریان سکون آزاد و همچنین تابع تغییرات زمانی سرعت محوری استوانه برای به‌دست آوردن حل کاملاً تشابهی، یکسان و به‌صورت عکس تابع خطی نسبت به زمان درنظر گرفته شده است. صالح و رحیمی [22] و رحیمی و صالح [23-24] حل‌های دقیقی برای جریان سکون متقارن محوری برروی استوانه نامحدود و نیز انتقال حرارت آن، برای حالت‌هایی که استوانه دارای حرکت محوری و چرخشی تابع زمان می‌باشد به‌دست آورده‌اند. همچنین شکرگزار عباسی و همکاران [25-28] حل‌های دقیقی برای جریان سکون سه‌بعدی و انتقال حرارت سیال لزج تراکم‌ناپذیر در حالت گذار، در برخورد با صفحه تخت ارائه داده‌اند. محمدیون و همکاران نیز [29-31] در مجموعه‌ای از مقالات، حل‌های کاملاً تشابهی به‌منظور تحلیل جریان سکون متقارن محوری و انتقال آن برروی محور استوانه‌ای با درنظر گرفتن اثرات تراکم‌پذیری جریان در حالت پایا ارائه داده‌اند. همچنین محمدیون و همکاران [32] به بررسی آزمایشگاهی یهود انتقال حرارت در مبدل حرارت دولوله‌ای در حضور نانوسيال اتیلن گلایکول-

در رابطه بالا اندیس های f , n , p به ترتیب معرف نانوسيال، سیال پایه و ذرات اکسید آلومنیوم می باشد و ϕ_v معرف کسر حجمی ذرات معلق در سیال است.

لزجت دینامیکی نانوسيال

لزجت دینامیکی نانوسيال را می توان با روابط موجود، برای مخلوطهای دوفازی برآورد کرد. یکی از جامع ترین روابط برای محاسبه لزجت سینماتیکی نانوسيالات رابطه ای است که توسط میسون کرچیونه به صورت زیر ارائه شده است [35]:

$$\frac{\mu_n}{\mu} = \frac{1}{1 - 34.87 \left(\frac{d_p}{d_f} \right)^{-0.3} \phi_v^{1.03}} \quad (2)$$

در رابطه بالا، d_f قطر معادل یک مولکول سیال پایه است، که با استفاده از رابطه زیر به دست می آید:

$$d_f = 0.1 \left(\frac{6M}{N \pi \rho_{f0}} \right)^{\frac{1}{3}} \quad (3)$$

که در آن M وزن مولکولی سیال پایه، N عدد آwooگادرو و ρ_{f0} چگالی سیال پایه محاسبه شده در دمای $T_0 = 293k$ است. در تحقیق حاضر، فرمول کرچیونه برای محاسبه لزجت سیال و بازنویسی معادلات ناویر-استوکس حاکم بر نانوسيال و نیز معادله انرژی استفاده شده است.

ضریب هدایت حرارتی نانوسيال

رابطه زیر برای محاسبه ضریب هدایت حرارتی نانوسيال پیشنهاد شده است [35]:

$$\frac{k_{eff}}{k_f} = 1 + 4.4 \text{Re}_p^{0.4} \text{Pr}_{bf}^{0.66} \left(\frac{T}{T_{fr}} \right)^{10} \left(\frac{k_p}{k_f} \right)^{0.03} \phi_v^{0.66} \quad (4)$$

از موارد زیر می توان به عنوان برخی از کاربردهای حالت های جریان سکون برروی استوانه نام برد: تحلیل حرکت ماشین های سانتریفیوژ، پروسه های تولید در کارخانجات صنایع شیمیابی، پتروشیمی و سیمان، فرایندهای سرمایش و گرمایش، فازهای شتاب گیری موتورهای راکت، مراحل راه اندازی و از کاراندازی ماشین های صنعتی، مخلوط کننده های صنعتی، الکهای صنعتی و سایر ماشین های نوسان کننده صنعتی.

خواص نانوسيال

نانوذرات اکسید آلومنیوم (γAl_2O_3) که در پژوهش حاضر به کار رفته اند ویژگی های زیر را دارا می باشد: چگالی $\rho_m = 3600 \frac{Kg}{m^3}$ ، قطر میانگین ذره $44 nm$ سایر خواص نیز در جدول (۱) فهرست شده است.

جدول ۱ خواص مربوط به سیال پایه و نانوسيال

پارامتر	مقدار
ضریب هدایت حرارتی سیال پایه، k_f	0.6316 [W/m-K]
ضریب هدایت حرارتی نانو ذره، k_p	40 [W/m-K]
ظرفیت گرمایی ویژه سیال پایه، $C_{p,f}$	4.181 [kJ/kg-K]
ظرفیت گرمایی ویژه نانوذرات، $C_{p,p}$	0.765 [kJ/kg-K]
چگالی سیال پایه، ρ_f	987.6 [kg/m³]
چگالی نانو ذرات، ρ_p	3600 [kg/m³]
لزجت دینامیکی سیال پایه، μ_f	0.000538 [kg/m-s]
قطر نانوذرات، d_p	44 nm
قطر مولکول سیال پایه، d_f	0.384 nm

چگالی نانوسيال

در این تحقیق فرض شده است که چگالی نانوذرات اکسید آلومنیوم در کل دامنه دمایی مورد نظر ثابت باشد و از رابطه زیر برای محاسبه چگالی نانوسيال استفاده شده است:

$$\rho_n = (1 - \phi_v) \rho_f + \phi_v \rho_p \quad (1)$$

$$u \frac{\partial v}{\partial r} + \frac{uv}{r} + w \frac{\partial v}{\partial z} = v_n \left[\frac{1}{r} \frac{\partial}{\partial r} \left(r \frac{\partial v}{\partial r} \right) - \frac{v}{r^2} + \frac{\partial^2 v}{\partial z^2} \right] \quad (9)$$

در رابطه بالا Re_p و Pr_{bf} به صورت زیر معرفی می‌شوند:

$$\text{Re}_p = \frac{2\rho_{bf} k_b T}{\pi \mu_{bf}^2 d_p} \quad \& \quad \text{Pr}_{bf} = \frac{\mu_{bf} (c_p)_{bf}}{k_{bf}} \quad (5)$$

معادله انرژی:

$$\frac{1}{r} \frac{\partial}{\partial r} \left(r k_{eff} \frac{\partial T}{\partial r} \right) + \frac{\partial}{\partial z} \left(k_{eff} \frac{\partial T}{\partial z} \right) = (\rho c_p)_n \left[u \frac{\partial T}{\partial r} + w \frac{\partial T}{\partial z} \right] \quad (10)$$

شرطی مرزی معادلات بالا عبارتند از:

$$r = a : \quad u = 0, \quad v = a\omega, \quad w = 0 \quad (11)$$

$$r \rightarrow \infty : \quad u = -\bar{k} \left(r - \frac{a^2}{r} \right) \quad \& \quad \frac{\partial u}{\partial r} = -\bar{k}, \\ \lim_{r \rightarrow \infty} (rv) = 0, \quad w = 2\bar{k}z \quad (12)$$

رابطه (11) همان شرط عدم لغزش سیال لزج می‌باشد. روابط (12) براساس حل غیرلزج به دست آمده‌اند، به این شکل که اولی بیانگر این موضوع است که شبیت تغییرات سرعت u در دوردست با شبیت آن در حل غیرلزج یکسان است و عبارت سوم نیز بیانگر این موضوع است که اگر به حد کافی از دیواره استوانه دور شویم، آن‌گاه سرعت w سیال لزج همان سرعت w سیال غیرلزج می‌شود.

شرطی مرزی مورد نیاز برای حل معادله انرژی

به صورت زیر بیان می‌شود:

(الف) حالت دیواره با دمای معلوم

$$r = a : \quad T = T_w \\ r \rightarrow \infty : \quad T = T_\infty \quad (13)$$

معادلات حاکم

همان‌طور که در شکل (1) نشان داده شده است جریان در مختصات استوانه‌ای (r, φ, z) با اجزای سرعت متناظر (u, v, w) درنظر گرفته شده است. جریان تراکم‌ناپذیر است و در حالت پایا بررسی می‌شود. با فرض تقارن محوری معادلات حاکم در مختصات استوانه‌ای به صورت زیر می‌باشد:

معادله پیوستگی:

$$\frac{\partial}{\partial r} (ru) + r \frac{\partial w}{\partial z} = 0 \quad (6)$$

معادله اندازه حرکت راستای r :

$$u \frac{\partial u}{\partial r} + w \frac{\partial u}{\partial z} = -\frac{1}{\rho_n} \frac{\partial P}{\partial r} + v_n \left(\frac{\partial^2 u}{\partial r^2} + \frac{1}{r} \frac{\partial u}{\partial r} - \frac{u}{r^2} + \frac{\partial^2 u}{\partial z^2} \right) \quad (7)$$

معادله اندازه حرکت راستای z :

$$u \frac{\partial w}{\partial r} + w \frac{\partial w}{\partial z} = -\frac{1}{\rho_n} \frac{\partial P}{\partial z} + v_n \left(\frac{\partial^2 w}{\partial r^2} + \frac{1}{r} \frac{\partial w}{\partial r} + \frac{\partial^2 w}{\partial z^2} \right) \quad (8)$$

معادله اندازه حرکت راستای φ :

$$\begin{aligned} (\eta + 1)f''' + f'' + \text{Re}_n [1 - (f')^2 + f f''] &= 0 \\ (\eta + 1)G'' + \text{Re}_n f G' &= 0 \end{aligned} \quad (17)$$

در رابطه بالا عدد رینولدز نانو سیال به صورت زیر معرفی می‌شود:

$$\text{Re}_n = \beta \frac{\bar{k} a^2}{2 v_f} \quad (18)$$

$$\beta = [1 - 34.87 \left(\frac{d_p}{d_f} \right)^{-0.3} \phi_v^{1.03}] \left(1 - \phi_v + \phi_v \frac{\rho_p}{\rho_f} \right) \quad (19)$$

با استفاده از روابط (۱۱ و ۱۲)، شرایط مرزی مورد نیاز برای حل معادلات (۱۷) به صورت زیر به دست می‌آید:

$$\begin{aligned} \eta = 0: \quad f = 0, \quad f' = 0, \quad G = \frac{a^2}{2 v \text{Re}} \frac{\omega}{\theta} \\ \eta \rightarrow \infty: \quad f' = 1, \quad G = 0 \end{aligned} \quad (20)$$

به منظور انتقال معادله انرژی از متغیر $\theta(\eta)$ به منظور انتقال معادله انرژی از متغیر η بعد از دو حالت دیواره با دمای ثابت و شار حرارتی ثابت به صورت زیر استفاده می‌شود:

الف) حالت دیواره با دمای معلوم

در این حالت متغیر جدید θ که بیانگر دمای بی بعد است، به صورت زیر معرفی می‌شود:

$$\theta(\eta) = \frac{T(\eta) - T_\infty}{T_w - T_\infty} \quad (21)$$

در این حالت، شرایط مرزی ارائه شده در رابطه (۱۵) به صورت زیر تبدیل می‌شوند:

$$\begin{aligned} \eta = 0: \quad \theta = 1 \\ \eta \rightarrow \infty: \quad \theta = 0 \end{aligned} \quad (22)$$

در رابطه فوق T_w بیانگر دمای دیواره می‌باشد که دارای مقدار ثابت است. همچنین T_∞ بیانگر دمای جریان آزاد یا همان دمای سیال دور از دیواره می‌باشد.

ب) حالت دیواره با شار حرارتی معلوم

$$\begin{aligned} r = a: \quad \frac{\partial T}{\partial r} &= -\frac{q_w}{k} \\ r \rightarrow \infty: \quad T &= T_\infty \end{aligned} \quad (14)$$

در روابط فوق k ضریب هدایت حرارتی سیال و q_w شار حرارتی معلوم دیواره استوانه می‌باشد که مقدار آن ثابت است. همان‌طور که از روابط فوق مشهود است، شرط مرزی دوم در هر دو حالت یکسان است و فرض شده است که T_∞ ثابت باشد. با استفاده از متغیرهای تشابهی مناسب می‌توان تعداد متغیرهای موجود در معادلات حاکم را کاهش داد. با الگو برداری از حل‌های غیر لزج ارائه شده در رابطه (۱۲) و با ضرب این روابط در توابع تبدیل مناسب و فرض جریان پایا، روابط زیر برای کاستن معادلات ناویراستوکس به معادلات تشابهی بی‌بعد ارائه شده است [۲۳]:

$$\begin{aligned} u &= -\bar{k} \frac{a}{\sqrt{\eta+1}} f(\eta), \quad v = \bar{k} \frac{a}{\sqrt{\eta+1}} G(\eta), \\ w &= 2\bar{k} f'(\eta) z, \quad P = \rho_n \bar{k}^2 a^2 p \end{aligned} \quad (15)$$

که در روابط بالا^(۱۵) معرف مشتق نسبت به متغیر تشابهی η می‌باشد که به صورت زیر معرفی می‌شود:

$$\eta = \left(\frac{r}{a} \right)^2 - 1 \quad (16)$$

روابط (۱۵)، معادله پیوستگی را خود به خود ارضا می‌کند و پس از جایگزینی این روابط در معادلات اندازه حرکت راستاهای z ، φ و r ، یک دستگاه معادله دیفرانسیل معمولی برای تعیین f و G به صورت زیر به دست می‌آید:

$$h = \frac{-k_{nf} \left. \frac{\partial T}{\partial r} \right|_{r=a}}{T_w - T_\infty} = \frac{-k_{nf} \left. \frac{\partial T}{\partial \eta} \frac{\partial \eta}{\partial r} \right|_{\eta=0}}{T_w - T_\infty} \quad (27)$$

$$= \frac{-k_{nf} \left. (T_w - T_\infty) \theta'(0) \right|_{T=T_w}}{T_w - T_\infty} \frac{2}{a}$$

از رابطه بالا نتیجه زیر به دست می آيد:

$$ha = -2k_{nf} \left. \theta'(0) \right|_{T=T_w} = -2k_{bf} [1 + 4.4 \text{Re}_p^{0.4} \text{Pr}_{bf}^{0.66} (\frac{T_w}{T_{fr}})^{10} (\frac{k_p}{k_f})^{0.03} \phi^{0.66}] \theta'(0) \quad (28)$$

معادلات دیفرانسیل (۱۷ و ۲۳ و ۲۶) به همراه شرایط مرزی ارائه شده، باروش تفاضل محدود و با استفاده از الگوریتم ماتریس سه قطری (TDMA) به طور همزمان حل می شود. نتایج حاصل از حل این معادلات در بخش های بعد ارائه شده است.

محاسبه تنش برشی در سطح

برای محاسبه تنش برشی مؤثر بر سطح استوانه رابطه زیر مورد استفاده قرار گرفته است:

$$\sigma = \sigma_\varphi \hat{e}_\varphi + \sigma_z \hat{e}_z = \mu_n [r \frac{\partial}{\partial r} (\frac{v}{r}) \hat{e}_\varphi + \frac{\partial w}{\partial r} \hat{e}_z]_{r=a} \quad (29)$$

به منظور محاسبه تنش برشی، ابتدا با مشتق گیری زنجیره ای، جمله $\frac{\partial w}{\partial r}$ به صورت زیر تبدیل می شود:

$$\frac{\partial w}{\partial r} = \frac{\partial w}{\partial \eta} \frac{\partial \eta}{\partial r} = (2 \bar{k} f'' z) \frac{2r}{a^2} \quad (30)$$

ب انتوجه به این که در $r=a$ ، داریم $\eta=0$ رابطه مربوط به محاسبه تنش برشی به صورت زیر تبدیل می شود:

$$\sigma = \mu_n [2 \bar{k} f''(0) z] \frac{2}{a} \Rightarrow \frac{\sigma a}{4 \mu_n \bar{k} z} = f''(0) \quad (31)$$

با فرض $\Gamma = 4.4 (\frac{2 \rho_{bf} K_b}{\pi \mu_{bf}^2 d_p})^{0.4} \frac{1}{T_{fr}^{10}} (\frac{k_p}{k_f})^{0.03}$ معادله انرژی پس از ساده سازی به صورت زیر تبدیل می شود:

$$\begin{aligned} & \left\{ 1 + \Gamma \phi_v^{0.66} \text{Pr}_{bf}^{0.66} [T_\infty + (T_w - T_\infty) \theta]^{10.4} \right\} \\ & [(\eta+1) \theta'' + \theta'] + 10.4 [T_\infty + (T_w - T_\infty) \theta]^{9.4} \\ & (T_w - T_\infty) \Gamma \phi_v^{0.66} \text{Pr}_{bf}^{0.66} (\eta+1) (\theta')^2 \\ & + \left\{ 1 - \phi_v + \phi_v \left[\frac{(\rho c_p)_p}{(\rho c_p)_f} \right] \right\} \text{Re}_{bf} \text{Pr}_{bf} f \theta' = 0 \end{aligned} \quad (23)$$

ب) حالت دیواره با شار حرارتی معلوم در شرایطی که دیواره استوانه تحت تأثیر شار حرارتی ثابت q_w قرار دارد دمای بی بعد $(\eta) \theta$ به صورت زیر تعریف شده است:

$$\theta(\eta) = \frac{T(\eta) - T_\infty}{\frac{aq_w}{2k_{bf}}} \quad (24)$$

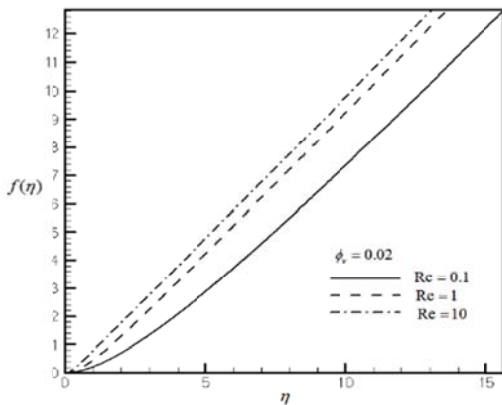
در این حالت، شرایط مرزی ارائه شده در رابطه (۲۴) به صورت زیر تبدیل می شوند:

$$\begin{aligned} \eta=0: \quad & -\frac{k_{nf}}{k_{bf}} \theta'(0) = 1 \\ \eta \rightarrow \infty: \quad & \theta = 0 \end{aligned} \quad (25)$$

با استفاده از رابطه (۲۴) و پس از ساده سازی، معادله انرژی به صورت زیر تبدیل می شود:

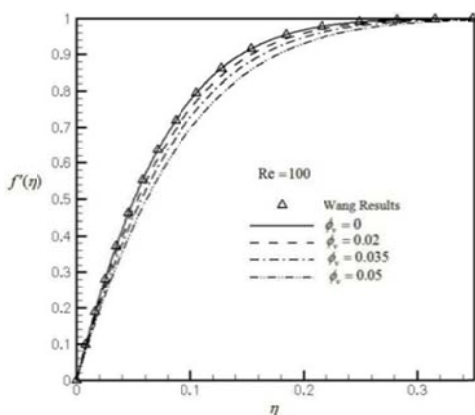
$$\begin{aligned} & \left\{ 1 + \Gamma \phi_v^{0.66} \text{Pr}_{bf}^{0.66} [T_\infty + \frac{aq_w}{2k_{bf}} \theta]^{10.4} \right\} \\ & [(\eta+1) \theta'' + \theta'] + 10.4 [T_\infty + \frac{aq_w}{2k_{bf}} \theta]^{9.4} \\ & \frac{aq_w}{2k_{bf}} \Gamma \phi_v^{0.66} \text{Pr}_{bf}^{0.66} (\eta+1) (\theta')^2 + \\ & \left\{ 1 - \phi_v + \phi_v \left[\frac{(\rho c_p)_p}{(\rho c_p)_f} \right] \right\} \text{Re}_{bf} \text{Pr}_{bf} f \theta' = 0 \end{aligned} \quad (26)$$

ضریب انتقال حرارت جابه جایی به صورت زیر محاسبه می شود:



شکل ۲ منحنی تغییرات $f(\eta)$ بر حسب η در $\phi_v = 0.02$ به ازای اعداد رینولذز مختلف

اثر تغییر کسر حجمی نانوذرات بر تابع $(\eta)'f$ در $Re = 100$ در شکل (۳) نمایش داده شده است. همان‌طور که ملاحظه می‌شود نتایج حل حاضر در $\phi_v = 0$ (برای سیال پایه) بر نتایج حل Wang [۱۴] منطبق می‌باشد. با افزایش کسر حجمی نانوذرات، عمق نفوذ مؤلفه محوری میدان سرعت سیال کاهش می‌یابد. به عبارت دیگر تزریق نانوذرات در سیال پایه، باعث کاهش اینرسی حرکتی سیال می‌شود و با کاهش اندازه حرکت محوری سیال، سرعت محوری آن کاهش می‌یابد. نتایج نشان می‌دهند، بیشترین مؤلفه محوری، مربوط به سیال پایه می‌باشد.



شکل ۳ منحنی تغییرات $(\eta)'f$ بر حسب η در $Re = 100$

همچنین برای محاسبه σ_φ داریم:

$$r \frac{\partial}{\partial r} \left(\frac{v}{r} \right) = - \frac{2\bar{k}a^2}{r^2} \frac{G(\eta)}{c(\eta)} + 2\bar{k}[G'(\eta) - \frac{G(\eta)c'(\eta)}{c(\eta)}] \quad (32)$$

از آنجاکه در سطح استوانه $\eta = 0$ می‌باشد، σ_φ به صورت زیر به دست می‌آید:

$$\sigma_\varphi = 2\bar{k}\mu_n \left[-\frac{G(0)}{c(0)} + G'(0) - \frac{G(0)c'(0)}{c(0)} \right] \rightarrow \frac{\sigma_\varphi}{2\bar{k}\mu_n} = -\frac{G(0)}{c(0)} + G'(0) - \frac{G(0)c'(0)}{c(0)} \quad (33)$$

باتوجه به این که $\frac{G(0)}{c(0)} = \frac{a^2 \omega}{2\nu Re}$ ، رابطه بالا به صورت زیر بازنویسی می‌شود:

$$\frac{\sigma_\varphi}{2\mu_n \omega} = -[1 + c'(0)] + \frac{\bar{k} G'(0)}{\omega} \quad (34)$$

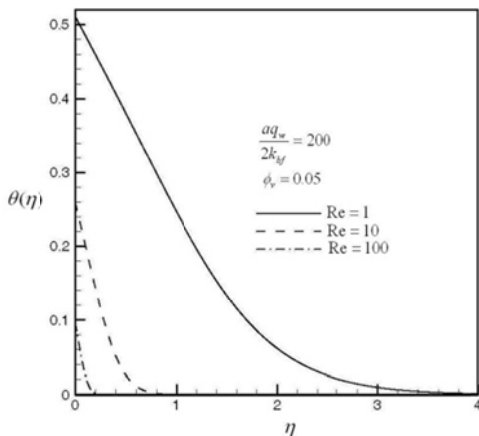
نتایج

در این قسمت نتایج حاصل از حل معادلات دیفرانسیل (۱۷ و ۲۳ و ۲۶) به همراه تنش برشی در سطح و عدد ناسلت در محدوده اعداد رینولذز مختلف و به ازای کسر حجمی‌های انتخابی ارائه شده است.

در شکل (۲) نمونه‌ای از منحنی‌های $f(\eta)$ بر حسب η برای کسر حجمی $\phi_v = 0.02$ و اعداد رینولذز انتخابی ارائه شده است. همان‌طور که مشاهده می‌شود با افزایش عدد رینولذز عمق نفوذ مؤلفه شعاعی میدان سرعت سیال افزایش می‌یابد؛ زیرا با افزایش عدد رینولذز اینرسی حرکتی شعاعی سیال بیشتر می‌شود، به عبارت دیگر با نفوذ هر چه بیشتر ممتد شعاعی سیال، مؤلفه شعاعی میدان جریان نیز افزایش می‌یابد.

نانوذرات ترسیم شده‌اند. با توجه به منحنی‌های ارائه شده، می‌توان نتیجه گرفت که افزایش کسر حجمی نانوذرات، تنش برشی در سطح را کاهش می‌دهد، زیرا افزایش کسر حجمی نانوذرات باعث کاهش شبیب نیم‌رخ‌های توزیع سرعت می‌شود و به عبارت دیگر گرادیان سرعت در سطح کاهش می‌یابد و این موضوع باعث کاهش تنش برشی در سطح استوانه می‌شود.

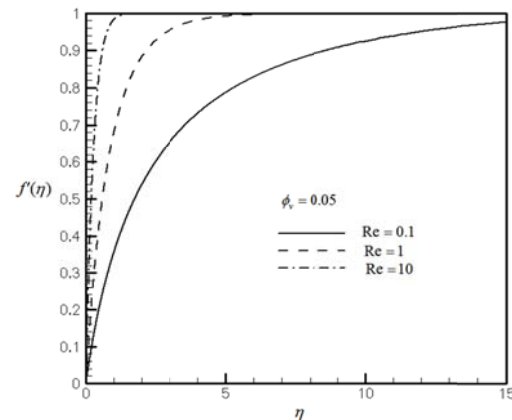
در شکل ۶ نمونه‌ای از منحنی‌های توزیع دمای بی‌بعد θ بر حسب η نمایش داده شده است. این منحنی‌ها در شرایطی ترسیم شده‌اند که دیواره استوانه تحت تأثیر شار حرارتی یکنواخت قرار دارد. همان‌طور که انتظار می‌رود با افزایش عدد رینولذ جریان اندازه حرکت سیال افزایش می‌یابد و با افزایش عمق نفوذ ممتد سیال نه تنها ضخامت لایه مرزی حرارتی کاهش می‌یابد بلکه دمای بی‌بعد در سطح نیز کمتر می‌شود.



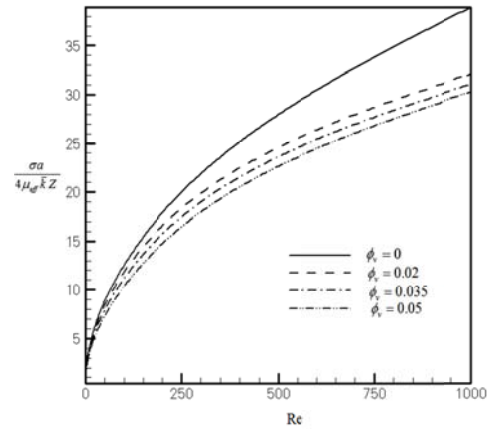
شکل ۶ اثر کسر حجمی نانوذرات بر منحنی‌های دمای بی‌بعد θ در شرایط شار حرارتی ثابت دیواره در $Re=10$

در شکل (۷) تأثیر کسر حجمی ϕ بر منحنی‌های دمای بی‌بعد نشان داده شده است. این نتایج در دمای دیواره $T_w = 450k$ ترسیم شده‌اند. همان‌طور که انتظار می‌رود، برخلاف محنی‌های دمای بی‌بعد شار ثابت در این حالت تمام منحنی‌ها از نقطه $\theta = 1$ شروع می‌شوند و با افزایش کسر حجمی نانوذرات شبیب منحنی‌ها کاهش می‌یابد و این به معنی افزایش ضخامت

در شکل (۴) نمونه‌ای از منحنی‌های f' بر حسب η برای $\phi_v = 0.05$ و اعداد رینولذ انتخابی نشان داده شده است. همان‌طور که انتظار می‌رود با افزایش عدد رینولذ، ضخامت لایه مرزی سرعت کاهش می‌یابد که منجر به افزایش شبیب نیم‌رخ‌های توزیع سرعت در $\eta = 0$ می‌شود و بنابراین گرادیان سرعت در سطح استواوه افزایش می‌یابد. می‌توان نشان داد برای سایر مقادیر کسر حجمی نانوذرات نیز نتایج مشابهی استخراج می‌شود.



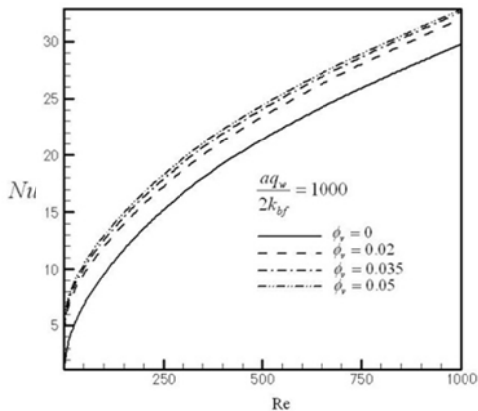
شکل ۴ منحنی تغییرات $f'(\eta)$ بر حسب η در $\phi_v = 0.05$ به ازای اعداد رینولذ مختلف



شکل ۵ منحنی تغییرات تنش برشی در سطح استوانه بر حسب عدد رینولذ، به ازای کسر حجمی‌های مختلف نانوذرات

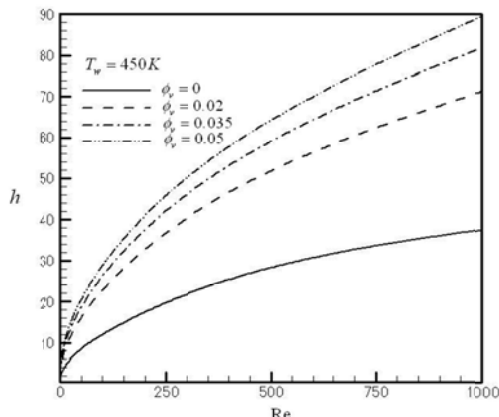
در شکل (۵) مؤلفه محوری تنش برشی دیواره، بر حسب عدد رینولذ در کسر حجمی‌های مختلف

به ازای کسر حجمی های متفاوت ترسیم شده است. با افزایش کسر حجمی های نانوذرات که منجر به افزایش ضریب هدایت حرارتی سیال می شود ضریب انتقال حرارت جابه جایی، افزایش می یابد و همان طور که ملاحظه می شود کمترین ضریب انتقال حرارت جابه جایی مربوط به سیال پایه ($\phi_v = 0$) می باشد.



شکل ۸ تأثیر کسر حجمی نانوذرات بر روی عدد ناسلت در

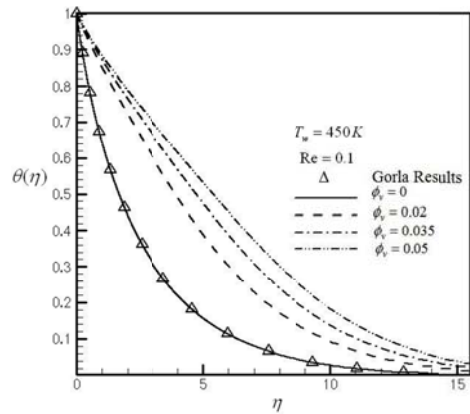
$$\frac{aq_w}{2k_{bf}} = 1000$$



شکل ۹ تأثیر کسر حجمی نانوذرات بر ضریب انتقال حرارت جابه جایی (h) در دمای دیواره $T_w = 450\text{ K}$

اثر کسر حجمی نانوذرات بر تابع $G(\eta)$ بر حسب η به ازای اعداد رینولذز مختلف در شکل های (۱۰-۱۲) نمایش داده شده است. با افزایش کسر حجمی نانوذرات، به ازای هر مقدار عدد رینولذز

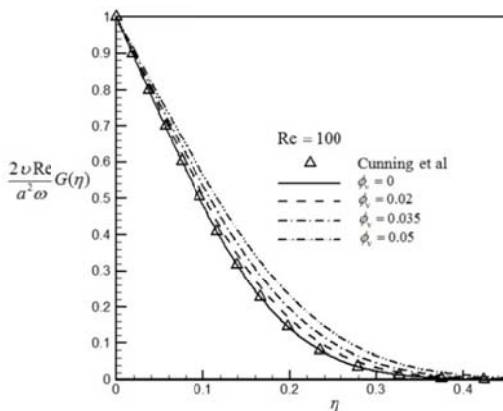
لایه مرزی حرارتی می باشد. هر چند افزایش نانوذرات به سیال، منجر به کاهش گرادیان دمای بی بعد در سطح استوانه می شود، اما شدت افزایش ضریب هدایت حرارتی آنقدر قابل توجه است که افزایش نرخ انتقال حرارت را به همراه دارد.



شکل ۷ تأثیر کسر حجمی ϕ_v بر منحنی های دمای بی بعد در $Re = 0.1$ و $T_w = 450\text{ K}$

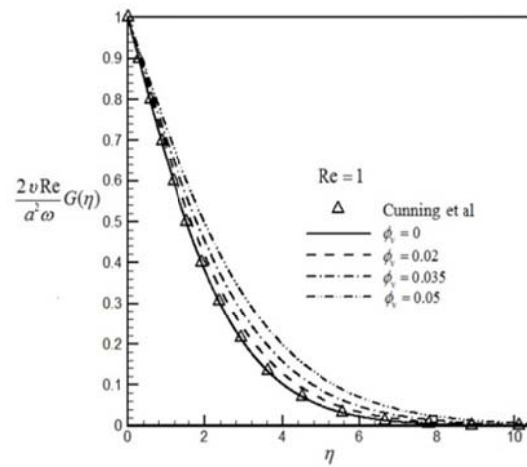
تأثیر کسر حجمی نانوذرات بر روی عدد ناسلت در شرایطی که دیواره استوانه تحت تأثیر شار حرارتی ثابت قرار دارد در منحنی های شکل (۸) نمایش داده شده است. در این منحنی ها عدد ناسلت بر حسب عدد رینولذز به ازای کسر حجمی های مختلف ترسیم شده است. نتیجه قابل توجه این است که با افزایش کسر حجمی نانوذرات عمق نفوذ حرارت افزایش می یابد و ضخامت لایه مرزی حرارتی بیشتر می شود. همان طور که این منحنی ها نشان می دهند افزایش عدد رینولذز جریان باعث افزایش عدد ناسلت می شود که این به معنی بهبود انتقال حرارت است. همچنین افزایش کسر حجمی نانوذرات تأثیر محسوسی بر افزایش عدد ناسلت جریان دارد و بهبود انتقال حرارت را به همراه می آورد.

در شکل (۹) ضریب انتقال حرارت جابه جایی (h) بر حسب عدد رینولذز در دمای دیواره $T_w = 450\text{ K}$

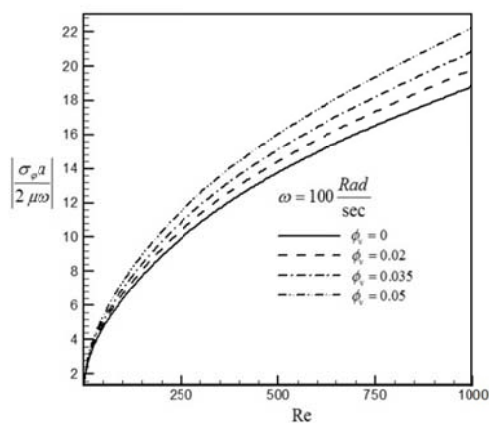


شکل ۱۲ تأثیر کسر حجمی نانوذرات بر مؤلفه زاویه‌ای میدان سرعت در $Re=100$

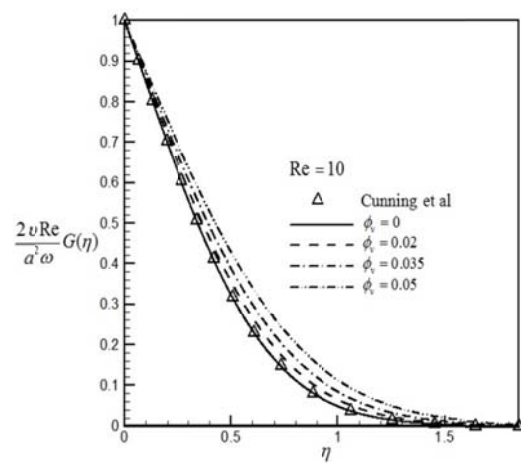
انتخابی، مقدار تابع $\frac{2vRe}{a^2\omega} G(\eta)$ افزایش می‌یابد و افزایش مقدار این تابع به معنی افزایش مؤلفه زاویه‌ای میدان سرعت سیال است. بنابراین می‌توان نتیجه گرفت در تمام اعداد رینولز، کمترین مؤلفه زاویه‌ای میدان سرعت سیال متعلق به سیال پایه است. در تمام موارد نتایج حاصل، به ازای $\phi_r = 0$ (برای سیال پایه) بر نتایج مرجع [19] منطبق است که این انطباق نتایج، صحت روش حل را تأیید می‌کند.



شکل ۱۰ تأثیر کسر حجمی نانوذرات بر مؤلفه زاویه‌ای میدان سرعت در $Re=1$



شکل ۱۳ تأثیر کسر حجمی نانوذرات بر مؤلفه زاویه‌ای تنش برشی



شکل ۱۱ تأثیر کسر حجمی نانوذرات بر مؤلفه زاویه‌ای میدان سرعت در $Re=10$

نتیجه‌گیری

در تحقیق حاضر حل تشابهی جریان سکون متقارن محوری نانوسیال بر روی استوانه چرخان و انتقال

عدد رینولدز سیال پایه	Re	حرارت آن، در شرایطی که استوانه با سرعت زاویه‌ای ثابت می‌چرخد، ارائه شده است. دستگاه معادلات دیفرانسیل پاره‌ای با استفاده از متغیر تشابهی و توابع تبدیل مناسیبی به معادلات دیفرانسیل معمولی تبدیل و حل شده‌اند. همه این نتایج در محدوده اعداد رینولدز ۱/۱ تا ۱۰۰۰ و بهمازای مقادیر مختلف کسر حجمی نانوذرات ($\phi = 0.02, 0.035, 0.05$) ارائه شده است.
قدرت چشمی جریان	\bar{k}	نتایج نشان می‌دهد افزایش کسر حجمی نانوذرات، باعث کاهش مؤلفه شعاعی میدان سرعت و مؤلفه محوری میدان سرعت در حالی که ضریب انتقال حرارت جابه‌جایی، عدد ناسلت، مؤلفه زاویه‌ای میدان سرعت و مؤلفه زاویه‌ای تنش برشی در سطح استوانه افزایش می‌یابد.
شعاع استوانه	a	
مؤلفه‌های مختصات استوانه‌ای	r, φ, z	
لزجت سینماتیکی سیال پایه	v_f	
مؤلفه شعاعی میدان سرعت	u	
مؤلفه محوری میدان سرعت	w	
مؤلفه زاویه‌ای میدان سرعت	v	
تنش برشی	σ	
فشار	p	
فشار بی‌بعد	P	
تابع بی‌بعد مرتبط با مؤلفه شعاعی میدان سرعت	f	
تابع بی‌بعد مرتبط با مؤلفه زاویه‌ای میدان سرعت	G	فهرست علامت
لزجت سینماتیکی نانوسیال	v_n	چگالی نانوسیال ρ_n
ضریب هدایت حرارتی نانوسیال	k_{eff}	کسر حجمی ϕ_v
دماهی انجماد سیال پایه	T_{fr}	چگالی سیال پایه ρ_f
عدد رینولدز نانوذرات	Re_p	چگالی نانوذرات ρ_p
عدد پرانتل سیال پایه	Pr_b	قطر معادل مولکول‌های سیال پایه d_f
عدد ناسلت	Nu	قطر معادل مولکول‌های نانوذرات d_p
ضریب انتقال حرارت جابه‌جایی	h	لزجت دینامیکی نانوسیال μ_n
		لزجت دینامیکی سیال پایه μ
		متغیر تشابهی η
		عدد رینولدز نانوسیال Re_n

مراجع

- Choi, S.U.S, "Enhancing thermal conductivity of fluid with nanoparticles", *Dev. Appl Non-Newtonian Flows*, Vol. 66, pp. 99–105, (1995).
- Maiga, S.E.B., Nguyen, C.T., Galanis, N. and Roy, G., "Heat transfer behaviors of nanofluid in a uniformly heated tube", *Superlattices Microstruct.*, Vol. 35, No. 3-6, pp. 453–462, (2004).
- Heris, S.Z., Etemad, S.Gh. and Esfahani, M.N., "Experimental investigation of oxide nanofluid laminar forced flow convective heat transfer", *Int. Comm. Heat Mass Transf.*, Vol. 33, No. 4, pp. 529–535, (2006).

4. Duangthongsuk, W. and Wongwises, S., "Heat transfer enhancement and pressure drop characteristics of TiO₂-water nanofluid in a double-tube counter flow heat exchangers", *Int. J. Heat Mass Transf.*, Vol. 52, No. 7-8, pp. 2059–2067, (2009).
5. Santra, A.K., Sen, S. and Chkroborty, M., "Study of heat transfer due to laminar flow of copper-water nanofluid through two isothermally heated parallel plates", *Int. J. Therm. Sci.*, Vol. 48, No. 1, pp. 391–400, (2009).
6. Nguyen, C.T., Galanis, N., Polidori, G., Fohanno, S., Pota, C.V. and Beche, A.L., "An experimental study of confined and submerged impinging jet heat transfer using Al₂O₃-water nanofluid", *Int. J. Therm. Sci.*, Vol. 48, No. 2, pp. 401–411, (2009).
7. Kuznetsov, A.V. and Nield, D.A., "Natural convection boundary-layer flow of a nanofluid past a vertical plate", *Int. J. Therm. Sci.*, Vol. 49, No. 2, pp. 243–247 (2010).
8. Kuznetsov, A.V. and Nield, D.A., "Thermal instability in a porous medium layer saturated by a nanofluid: Brinkman model", *Transp. Porous Med.*, Vol. 81, No. 3, pp. 409–422, (2010).
9. Khan, W.A. and Pop, I., "Boundary-layer flow of a nanofluid past a stretching sheet", *Int. J. Heat Mass Transfer*, Vol. 53, No. 11-12, pp. 2477–2483, (2010).
10. Hiemenz, K., "Die Grenzschicht an einem in den gleichformigen Flussigkeitsstrom eingetauchten geraden", *Kreiszylinder. Dinglers Polytech. J.*, Vol. 326, pp. 321-410, (1911).
11. Homann, F.Z., "Der Einfluss grosser Zahigkeit bei der Strömung um den Zylinder und um die Kugel", *Zeitsch. Angew. Math. Mech.*, 16153-164, (1936)
12. Howarth, L., "The boundary layer in three dimensional flow. Part II. The flow near a stagnation point", *Phil. Mag.*, Vol. 42, No. 7, pp. 1433-1440, (1951).
13. Davey, A., "Boundary layer flow at a saddle point of attachment", *Journal of Fluid Mechanics*, Vol. 10, No. 4, pp. 593-610, (1951).
14. Wang, C., "Axisymmetric stagnation flow on a cylinder", *Quarterly of Applied Mathematics*, Vol. 32, No. 2, pp. 207-213, (1974).
15. Gorla, R.S.R., "Unsteady laminar axisymmetric stagnation flow over a circular cylinder", *Dev. Mec*, Vol. 9, pp.286-288, (1977).
16. Gorla, R.S.R., "Nonsimilar axisymmetric stagnation flow on a moving cylinder", *Int. J. Engineering Science*, Vol. 16, No. 6, pp. 397-400, (1978).
17. Gorla, R.S.R., "Transient response behaviour of an axisymmetric stagnation flow on a circular cylinder due to time dependent free stream velocity", *Int. J. Engineering science*, Vol. 16, No. 7, pp. 493- 502, (1978).
18. Gorla, R.S.R., "Unsteady viscous flow in the vicinity of an axisymmetric stagnation-point on a cylinder", *Int. J. Engineering Science*, Vol. 17, No. 1, pp. 87-93, (1979).
19. Gorla, R.S.R., "Heat transfer in axisymmetric stagnation flow on a cylinder", *Applied Scientific Research J.*, Vol. 32, No. 5, pp. 541-553, (1976).
20. Cunning, G.M., Davis, A.M.J. and Weidman, P.D., "Radial stagnation flow on a rotating cylinder with uniform transpiration", *Journal of Engineering mathematics*, Vol. 33, No. 2, pp. 113-128, (1998).
21. Takhar, H.S., Chamkha, A.J. and Nath, G., "Unsteady axisymmetric stagnation-point flow of a viscous fluid on a cylinder", *Int. Journal of Engineering Science*, Vol. 37, No. 15, pp. 1943-1957, (1999).
22. Saleh, R. and Rahimi, A.B., "Axisymmetric Stagnation-Point Flow and Heat Transfer of a Viscous Fluid on a Moving Cylinder with Time- Dependent Axial Velocity and Uniform Transpiration", *Journal of Fluids Engineering*, Vol. 126, No. 6, pp. 997–1005, (2004).
23. Rahimi, A.B. and Saleh, R., "Axisymmetric Stagnation-Point Flow and Heat Transfer of a Viscous

- Fluid on a Rotating Cylinder With Time- Dependent Angular Velocity and Uniform Transpiration", *Journal of Fluids Engineering*, Vol. 129, No. 1, pp. 107–115 (2007).
24. Rahimi, A.B. and Saleh, R., "Similarity Solution of Unaxisymmetric Heat Transfer in Stagnation- Point Flow on a Cylinder with Simultaneous Axial and Rotational Movements", *Journal of Heat Transfer*, Vol. 130, No. 5, pp. 054502-1–054502-5, (2008).
 25. Abbasi, A.S. and Rahimi, A.B., "Non-Axisymmetric Three- Dimensional Stagnation-Point Flow and Heat Transfer on a Flat Plate", *Journal of Fluids Engineering*, Vol. 131, No. 7, pp. 074501.1–074501.5, (2009).
 26. Abbasi, A.S. and Rahimi, A.B., "Three-Dimensional Stagnation- Point Flow and Heat Transfer on a Flat Plate with Transpiration", *Journal of Thermophysics and Heat Transfer*, Vol. 23, No. 3, pp. 513–521, (2009).
 27. Abbasi, A.S., Rahimi, A.B. and Niazmand, H., "Exact Solution of Three-Dimensional Unsteady Stagnation Flow on a Heated Plate", *Journal of Thermophysics and Heat Transfer*, Vol. 25, No. 1, pp. 55–58, (2011).
 28. Abbasi, A.S. and Rahimi, A.B., "Investigation of Two-Dimensional Stagnation-Point Flow and Heat Transfer Impinging on a Flat Plate", *Journal of Heat Transfer*, Vol. 134, No. 6, pp. 064501-06450, (2012).
 29. Mohammadiun, H. and Rahimi, A.B., "Stagnation-Point Flow and Heat Transfer of a Viscous, Compressible Fluid on a Cylinder", *Journal of Thermo physics and Heat Transfer*, Vol. 26, No. 3, pp. 494-502, (2012).
 30. Mohammadiun, H., Rahimi, A.B. and Kianifar, A., "Axisymmetric stagnation-point flow and heat transfer of a viscous, compressible fluid on a cylinder with constant heat flux", *Scientia Iranica B*, Vol. 20, No. 1, pp. 185–194, (2013).
 31. Rahimi, A.B., Mohammadiun, H. and Mohammadiun, M., "Axisymmetric stagnation flow and heat transfer of a compressible fluid impinging on a cylinder moving axially", *ASME J. Heat Transfer*, Vol. 138, No. 2, pp. 022201-1-022201-9, (2016).
 32. Mohammadiun, H., Mohammadiun, M., Hazbehan.M. and Maddah, H., "Experimental study of ethylene glycol-based Al₂O₃ nanofluid turbulent heat transfer enhancement in the corrugated tube with twisted tapes", *Heat Mass Transfer*, Vol. 52, No. 1, pp. 141–151, (2016).
 33. Freidoonimehr, N. and Rahimi, A.B., "Exact-solution of entropy generation for MHD nanofluid flow induced by a stretching/shrinking sheet with transpiration: Dual solution", *Advanced Powder Technology*, Vol. 28, No. 22, pp. 671-685, (2017).
 34. Mansour, M.A., Mahdy, A.S., Ahmed, S.E. and Mohamed, S.S., "Entropy Analysis for Unsteady MHD Boundary Layer Flow and Heat Transfer of Casson Fluid over a Stretching Sheet", *Walailak J Sci & Tech*, Vol. 14, No. 2, pp. 169-187, (2017).
 35. Corcione, M., "Empirical correlating equations for predicting the effective thermal conductivity and dynamic viscosity of nanofluids", *Ene. Convers. Manage.*, Vol. 52, No. 1, pp. 789-793, (2011).